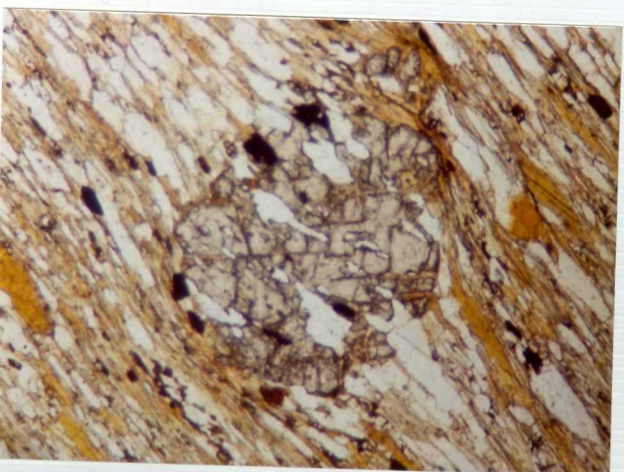
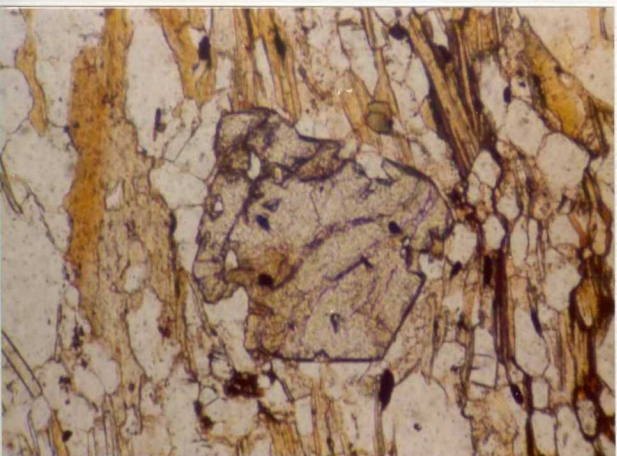


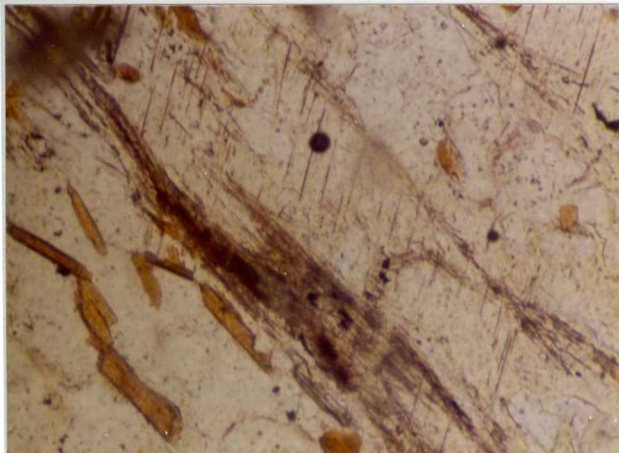
0804 IBJF 1023. Típica blastesis biotítica. Inclusiones suavemente heliciticas. Matriz filítica cloritomoscovítica. Pequeños granos de cuarzo y plagioclasa. (PC ξ + ξ A). LN x 90.



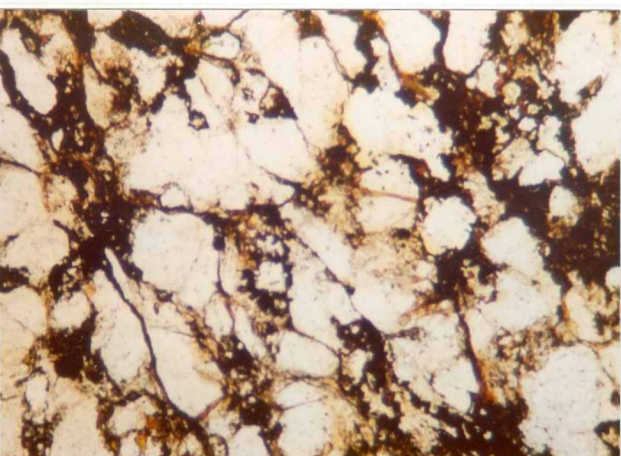
0804 IBJF 1059. Granate poikilitítico y xenomorfo, incluye y deforma la esquistosidad. Serie de Villalba. (PC ξ + ξ A). LN x 90.



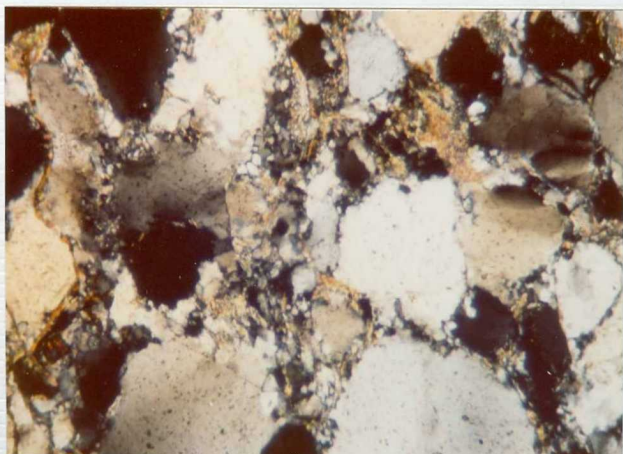
0804 IBJF 1084. Granate de la serie de Villalba.
Representa un crecimiento más tardío y estático
que el anterior. (PCξ + ξA). LN x 90.



0804 IBVM 2052. Esquisto sillimanítico de la se-
rie de Villalba. La sillimanita orientada con la
roca (biotita) incluida en mica secundaria.
(PCξ + ξA). LN x 90



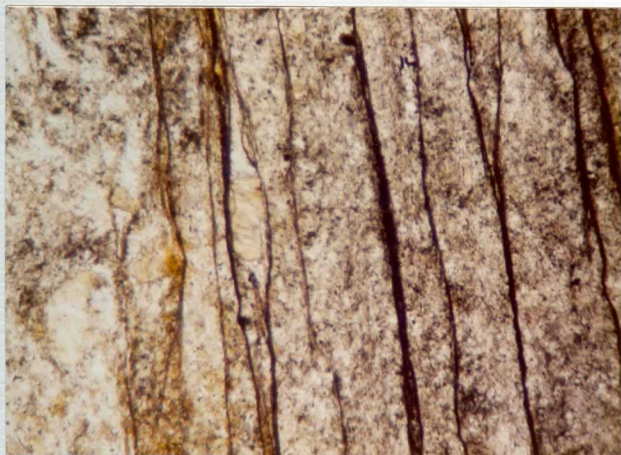
0804 IBMA 172. Metarenisca ferruginosa. Cuarcita de Cándana Superiores. (CA₁T + p.) LN x 25.



0804 IBMA 170. Metamicroconglomerado cuarcítico. Cuarcitas de Cándana Superiores. (CA₁T + p.). LP x 25.



0804 IBMA 19. Capas de Villamea. Esquistasidad principal afectada por una segunda de fractura que ocasionalmente evoluciona a un "Strain-Slip" incipiente (fuera de la foto). Tramos detriticos más groseros en bandas o lentejones (CA₂₋₃-O₁₂¹). LN x 12,5.



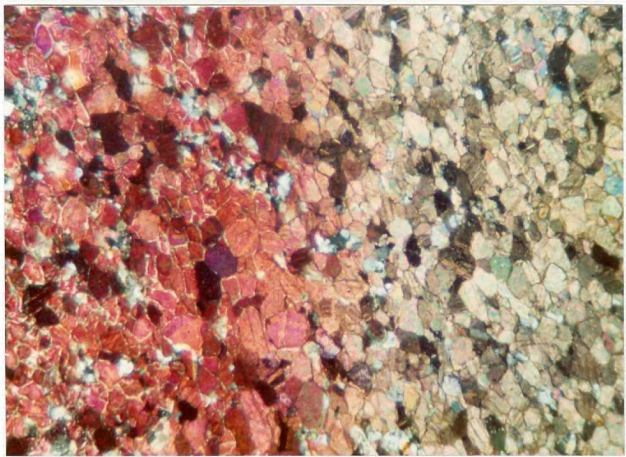
0804 IBMA 46. Obsérvese la esquistasidad de -- fractura muy bien desarrollada en una lidita m_icácea y el desarrollo de cloritas blásticas. - CA₂₋₃-O₁₂¹. LN x 25.



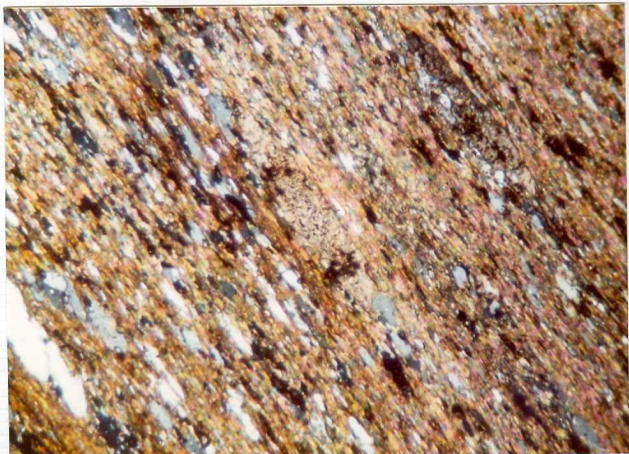
0804 IBMA 50. S_0 manifiesta en la diferente litología. A unos 80° la S principal anterior a la cual hay desarrollo blástico de cloritas ($CA_{2-3}O_{1-2}^1$). LN x 12,5.



0804 IBMA 70. Venas de cuarzo afectadas por la esquistosidad principal. Serie de Villalba -- (PCξ + ξA). LN x 12,5



0804 IBMA 7. Calizas de Cándana. Hay granos de cuarzo dispersos y algo de sericitia. (c). LP x 25



0804 IBMA 2. Calcofilita. Nótese la disposición del carbonato. Capas de tránsito (WALTER, 1968) ($Ca_{2-3}O_{12}^1$). LP x 25.



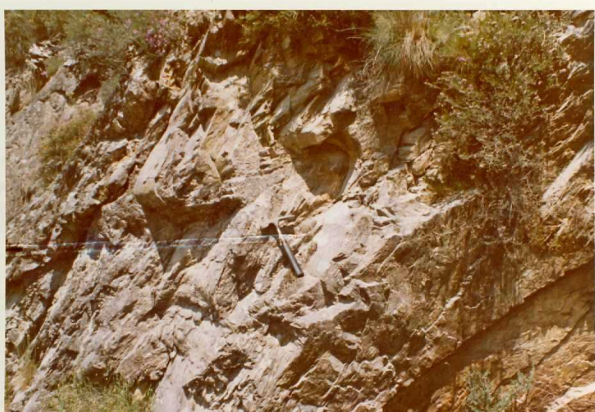
0804 IBMA 314. Planos de kink en las pizarras con intercalaciones de areniscas del Cámbrico-Ordovícico ($CA_{2-3} - O_{12}^1$).



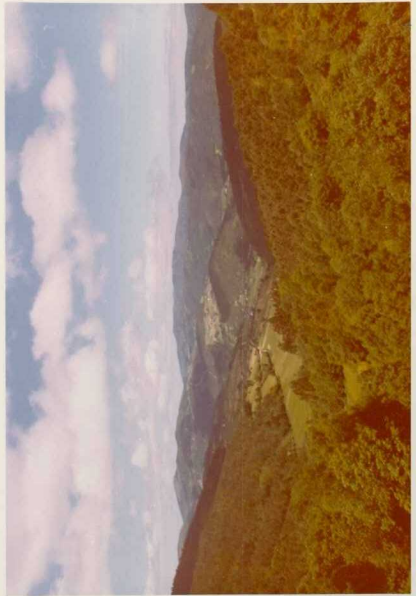
0804 IBMA 315. Detalle de la anterior. (314) - ($CA_{2-3} - O_{12}^1$)



0804 IBMA 316. Pliegue menor acompañante a la estructura sinclinal del pliegue de Villaodrid. --
(CA₂₋₃ - O¹₁₂)



0804 IBMA 317. Repliegue menor en las capas de Villamea (CA₂₋₃ - O¹₁₂), dentro de la estructura sinclinal de Villamea.



0804 IBMA 322. Panorámica general de las corriadas de Cándana, y al fondo del Arenig.



0804 IBMA 329. Huellas de disolución (figuras de Lagrange) en materiales de Cándana inferior. CA1



0804 IBMA 324. Aspecto de la crenulación, y posibles charnelas de eje N.S. buzando hacia el S en las serie del Ordovícico medio y superior (O_{2-3})



0804 IBMA 327. Pliegue menor de plano axial tumba lo, en las cuarcitas de Cándana superior, acompañante del gran pliegue tumbado de Mondoñedo. (F_1) ($CA_1 \gamma + p$)



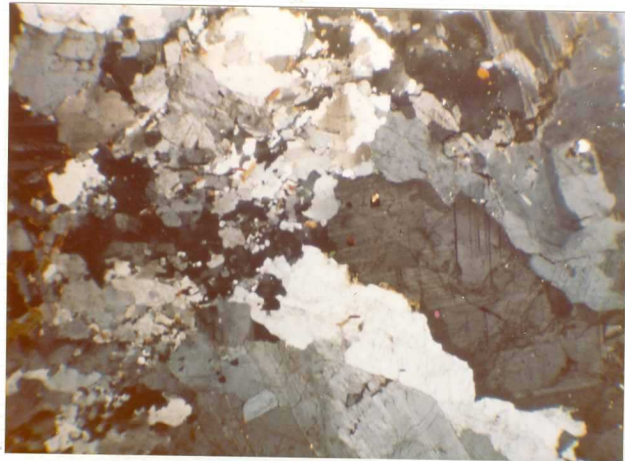
0804 IBMA 326. Aspecto de la estratificación (S_0) definida por la coloración que corta la foliación S_1 . Flanco invertido del pliegue tumbado de Mondoñedo, en las cuarcitas de Cándana superior. ($CA_1 \gamma + p$)



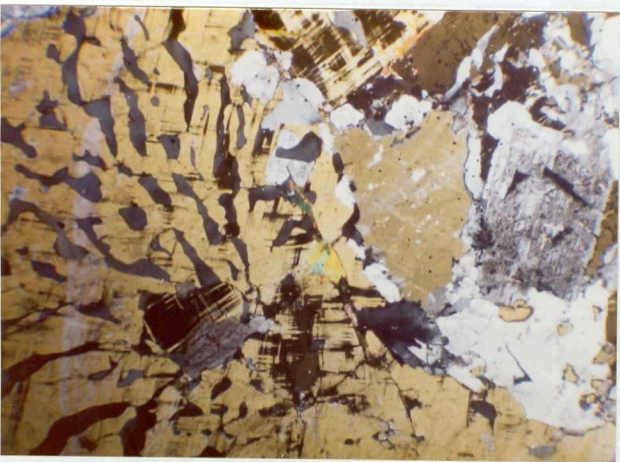
0804 IBMA 328. Aspecto de la interacción entre la foliación y planos de kink en las capas de Villa-mea (CA₂₋₃ - O¹₁₂)



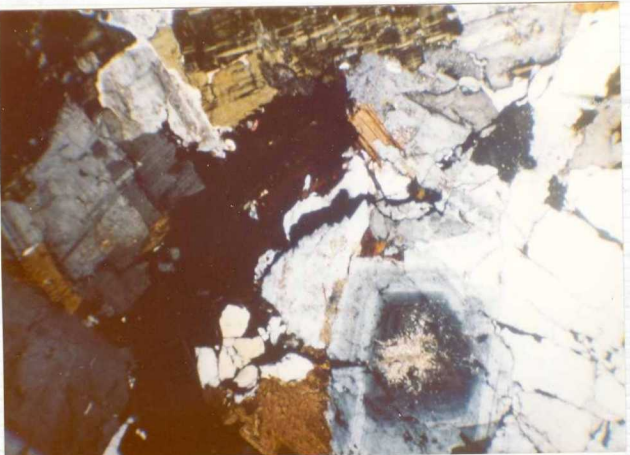
0804 IBMA 323. Planos de kink tardios, separados metricamente en las pizarras y areniscas de Cánada na. (CA₁P₁)



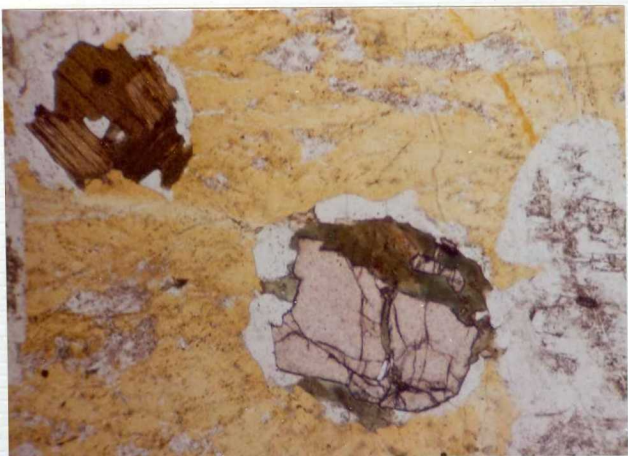
0804 IBVM 2033. Cavidad miarolítica en el granito de la Tojiza (granito orbicular). Obsérvese - el contacto y disposición de los grandes cristales de albita. $(\frac{b}{c})^2, \frac{b}{c-2} (\gamma^2)$ LP x 12,5



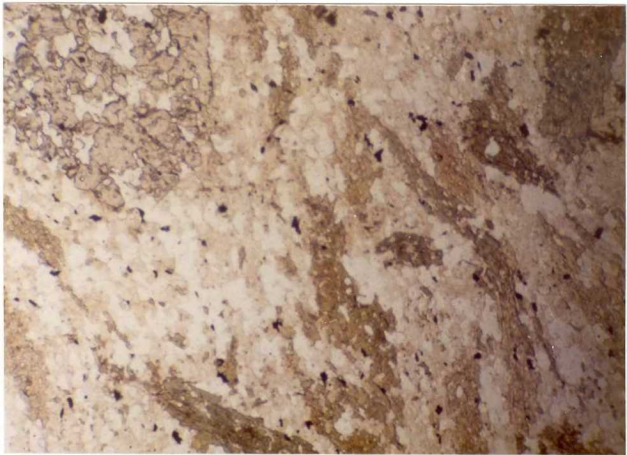
0804 IBVM 2022. Dique de granito de grano fino - Obsérvese los crecimientos gráficos del cuarzo y el gran desarrollo del feldespato potásico. - (FA). LP x 12,5.



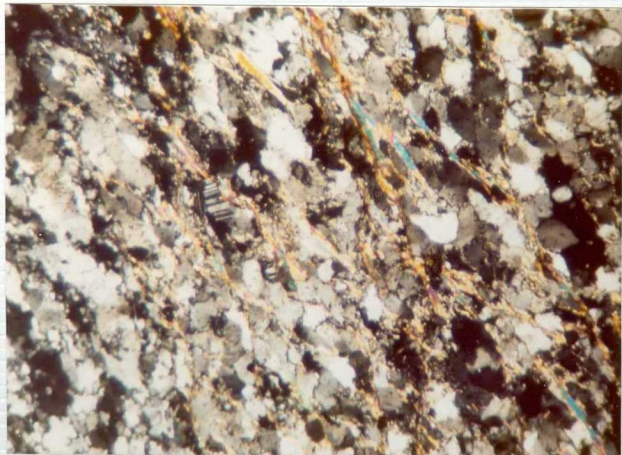
0804 IBVM 2045. Facies común, biotítica de la Tojiza. Nótese el acusado zonado de la plagioclasa y disposición agrupada de la biotita (extinguida). $(\frac{b}{c} \gamma^2_{\eta})$.



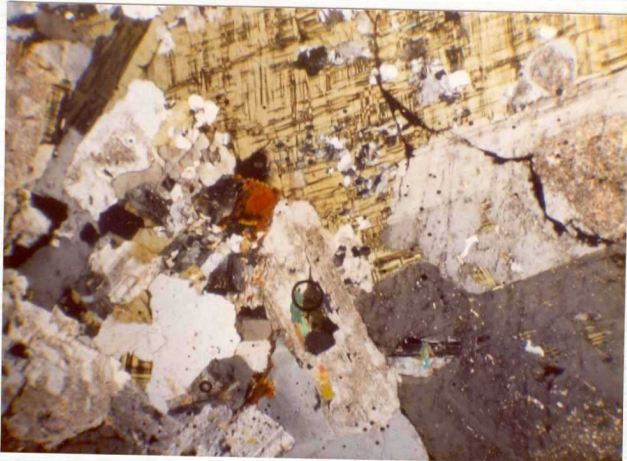
0804 IBVM 2023. Detalle de granate en el granito de la Tojiza. Observar su transformación a biotita verde y carácter hipidiomorfo así como las --frecuentes fracturas. Incluido en feldespato potásico. $(\frac{b}{c} \gamma^2_{\eta}), \frac{b}{c-2} \gamma^2_{\eta}$). LN x 25



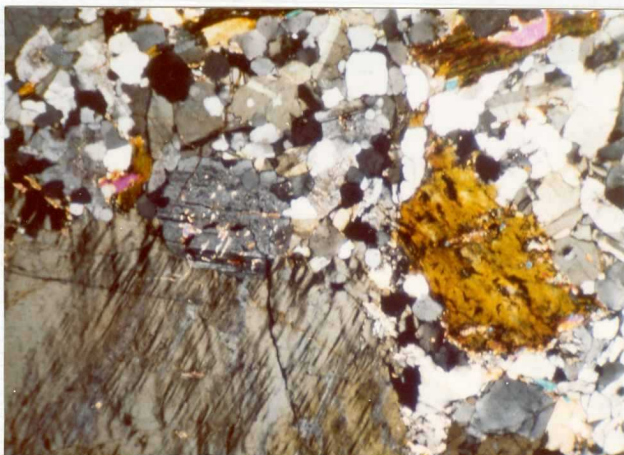
0804 IBVM 2053. Anfibolita "en gerbe" de la serie de Villalba. Nótese disposición y características de anfibol y granate. Mesostasis cuarzo-plagioclásica. (PCξ + ξA). LN x 25.



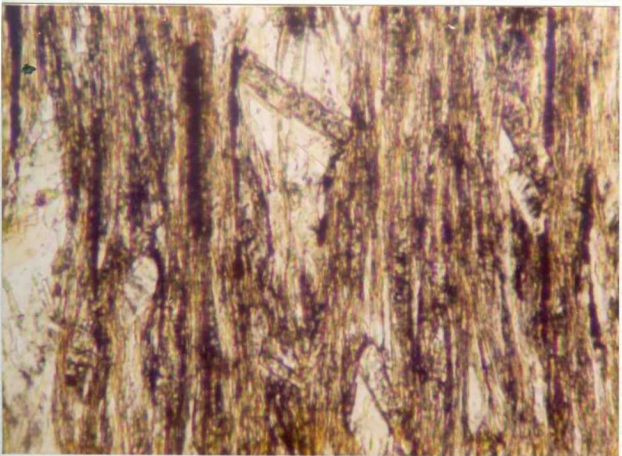
0804 IBMA 54. Metarenisca. El tipo litológico es semejante en el Cámbrico inferior y Serie de Villalba cuando está menos intensamente metamorfizada. (PCξ + ξA, CA₁p). LP x 25.



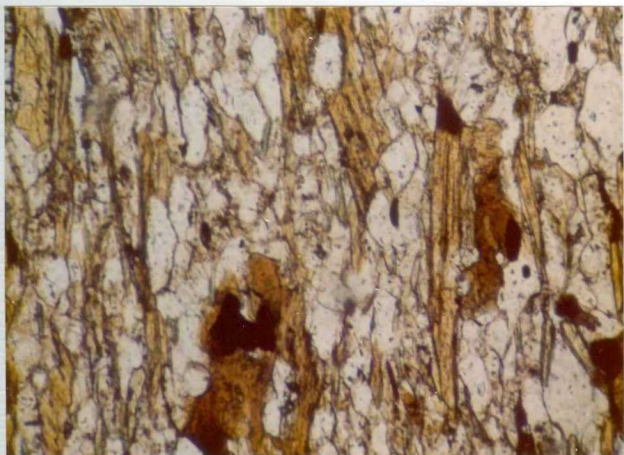
0804 IBVM 2062. Facies diferenciada, de dos micas en la Tojiza. Zonados residuales en plagioclase (ángulo inferior derecho), moscovita dispersa y carácter del feldespato potásico. $(^b_{c-2})^{\gamma^2}$ LP x 12,5.



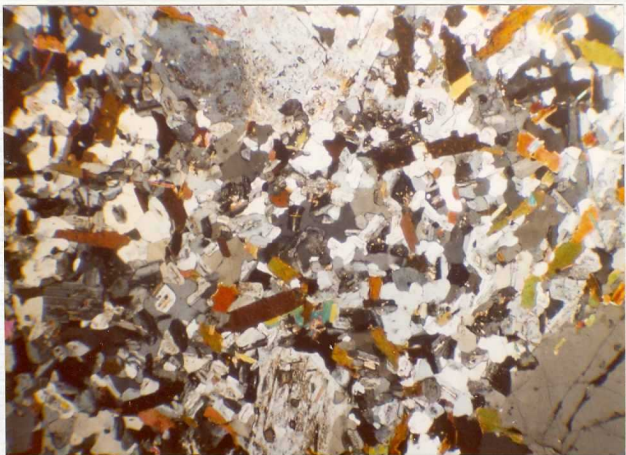
0804 IBVM 2001. Facies de dos micas (diferenciada) en el granito de la Tojiza. Ocasionalmente se observa esta textura con marcada heterometría de grano. $(^b_{c-2})^{\gamma^2}$ LN x 18



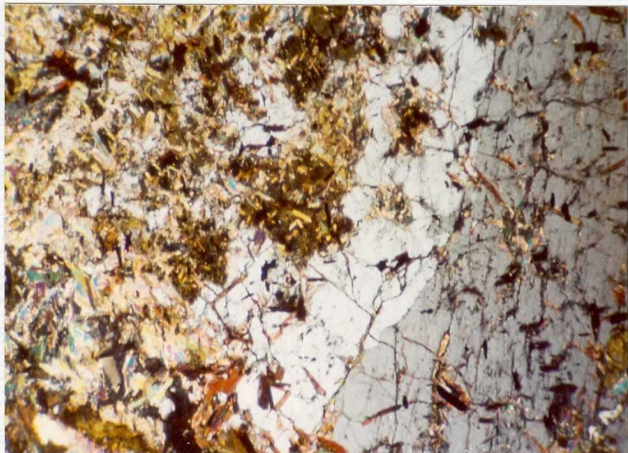
0804 IBVM 2078. Filitas del silúrico. Observese la disposición muy típica de los numerosos cloritoides, en "Sanwich" entre moscovita y también orientados con la esquistosidad. (PCS + SA) LN x 180.



0804 IBJF 1014. Serie de Villalba. Biotitas tardías y también marcando la esquistosidad. Pequeñas cloritas orientadas. (PCξ + ξA). LN x 36.



0804 IBVM 2148. Gábarro en el macizo de la Tojiza. $(\frac{b}{c}^2, \frac{b}{c-2}^2)$ LP x 12,5.



0804 IBVM 2002. Corneana con andalucita y feldes
pato potásico. Obsérvese la disposición desorde-
nada de las micas y carácter mosqueado de la tex-
tura. Aureola de contacto del macizo de la Tojiza. $(O_{12}^1 - O_{12}^2)$ LP x 18.



0804 IBVM 2150. Deformaciones tardias tipo kink -
en las pizarras y areniscas alternantes CA₂₋₃ -
O₁₂¹. (Capas de Villamea).



0804 IBVM 2015. Granito de grano fino (Epigranitos) que rellenan diaclasas tempranas en el macizo de la Togiza ($\frac{b}{c} \gamma \eta^2$, $\frac{b}{c} \gamma_2^2$)



0804 IBVM 2033. Contacto de los granitos orbiculares con la facies común de megacristales de la - granodiorita tardía de la Togiza ($\frac{b}{c} \gamma \eta^2$, $\frac{b}{c} \gamma_2^2$)



0804 IBVM 2148. Enclave melanocrático en el macizo de la Togiza ($\frac{b}{c} \gamma \eta^2$, $\frac{b}{c} \gamma_2^2$)



0804 IBVM 2151. Deformaciones tardías tipo kink - en las pizarras y areniscas alternantes $CH_{2-3}O_{12}^1$ (Capas de Villamea)